

# MAWSON

1305 - 1090 West Georgia Street, Vancouver, BC, V6E 3V7  
Telefon: +1 604 685 9316 / Fax: +1 604 683 1585

PRESSEMITTEILUNG

APRIL 12, 2021

## Mawson definiert zwei neue Gebiete in ersten Winterbohrergebnissen aus Finnland mit Bohrungen von 70,3 m @ 1,6 g/t AuEq bei The Hut und 1,5 m @ 19,6 g/t AuEq bei Joki East

Vancouver, Kanada - **MawsonGoldLimited** ("Mawson") oder (das "Unternehmen") (TSX:MAW) (Frankfurt:MXR) (PINKSHEETS: MWSNF - <https://www.commodity-tv.com/ondemand/companies/profil/mawson-gold-ltd/>) freut sich, die Ergebnisse von zwei neuen Gebieten bekannt zu geben, die sich außerhalb und angrenzend an die aktuellen Ressourcengebiete befinden. Diese Ergebnisse liefern die mächtigste mineralisierte Zone, die bisher bei Rajapalot in The Hut gefunden wurde und erweitern die hochgradige Mineralisierung bei Joki East. Fünfzehn Diamantbohrlöcher werden als Teil des 76 Löcher und 19.422 Meter umfassenden Bohrprogramms 2020/21 des Unternehmens auf dem zu 100% unternehmenseigenen Projekt Rajapalot in Finnland gemeldet.

### Highlights:

- Die Ergebnisse werden für zwei neue Entdeckungsgebiete präsentiert: The Hut und Joki East, die sich außerhalb und angrenzend an die aktuellen Ressourcengebiete bei Rajapalot befinden (Abbildung 1);
- Bei **Joki East**, einer Blindentdeckung, die Mawson Ende 2020 machte, wurde eine hochgradige Mineralisierung in den bisher flachsten Ebenen erbohrt;
  - Bohrloch **PAL0252** durchteufte **1,5 Meter mit 18,1 g/t Au, 1.696 ppm Co und 19,6 g/t AuEq** auf 117,1 Metern;
  - Die Mineralisierung bei Joki East erstreckt sich nun über 225 Meter in der Tiefe und 30-40 Meter quer zum Streich, wobei die Mineralisierung sowohl in der Tiefe als auch in der Höhe offen ist;
- Eine neue Entdeckung wurde in PAL0259 auf dem Grundstück **The Hut** gebohrt und liefert die mächtigste mineralisierte Zone, die bisher auf Rajapalot gebohrt wurde;
  - Bohrloch **PAL0259** durchteufte **70,3 Meter mit 0,9 g/t Au, 828 ppm Co, 1,6 g/t AuEq** auf 95,8 Metern (kein unterer Cutoff-Wert angewandt);
    - Einschließlich 23,3 Meter @ 1,2 g/t Au, 1.035 ppm Co, 2,1 g/t AuEq aus 100,7 Metern;
    - Einschließlich 14,4 Meter @ 0,6 g/t Au, 1.531 ppm Co, 1,9 g/t AuEq aus 126,3 Metern;
    - Einschließlich 2,4 Meter mit 3,9 g/t Au, 747 ppm Co, 4,6 g/t AuEq aus 143,3 Metern;
    - Einschließlich 7,0 Meter mit 1,1 g/t Au, 31 ppm Co, 1,2 g/t AuEq aus 159,0 Metern;
  - Bohrloch **PAL0263**, das 70 Meter in der Tiefe und nördlich von PAL0259 gebohrt wurde, durchteufte:
    - 13,6 Meter @ 1,2 g/t Au und 98 ppm Co (1,3 g/t AuEQ) aus 103,0 Metern;
      - einschließlich 2,7 Meter mit 5,0 g/t Au, 264 ppm Co, 5,3 g/t AuEq aus 104,8 Metern;
    - 4,3 Meter @ 2,3 g/t Au, 26 ppm Co, 2,3 g/t AuEq aus 121,5 Metern;
    - 9,2 Meter @ 1,1 g/t Au, 256 ppm Co, 1,3 g/t AuEq aus 222,3 Metern;
      - einschließlich 2,0 Meter mit 4,3 g/t Au, 170 ppm Co, 4,4 g/t AuEq aus 227,3 Metern;
  - Bohrloch **PAL0269**, das 50 Meter nordwestlich von PAL0263 gebohrt wurde, durchteufte:
    - 15 Meter @ 1,0 g/t Au, 307 ppm Co, 1,3 g/t AuEq aus 195,9 Metern;

- einschließlich 6,0 Meter mit 2,1 g/t Au, 501 ppm Co, 2,5 g/t AuEq aus 198,9 Metern; und
  - 3,0 Meter @ 3,1 g/t Au, 13 ppm Co, 3,1 g/t AuEq aus 219,4 Metern
- Insgesamt hat Mawson seit Beginn der Bohrungen im September 2020 76 Bohrlöcher für 19.422 Meter gebohrt. Insgesamt werden hier 15 Bohrungen für 4.478 Meter vorgestellt; und
  - Insgesamt 50 Bohrlöcher für 12.600 Meter aus 5 einzelnen Prospektionsgebieten müssen noch bis Juni 2021 gemeldet werden, wobei eine Ressourcenerhöhung für Juli 2021 geplant ist.

Herr Hudson, Chairman und CEO, erklärt: *"Nach einigen aktiven Monaten im Feld ist dies ein starker Start, der sowohl hohe Gehalte als auch eine dicke Gold-Kobalt-Mineralisierung auf neuen Entdeckungen in der Nähe unserer bereits definierten Ressourcengebiete liefert. Diese Ergebnisse zeigen das Potenzial, die Ressource Rajapalot beträchtlich zu erweitern, und wir sind sehr gespannt auf die zusätzlichen Ergebnisse von 50 Bohrlöchern, die in den kommenden Monaten aus fünf einzelnen Prospektionsgebieten gemeldet werden."*

The Hut und Joki East befinden sich 500 Meter bzw. 1.500 Meter von den nächstgelegenen Ressourcengebieten entfernt (Abbildung 1). Die Gold- und Kobaltuntersuchungsergebnisse werden hier von 15 Bohrlöchern über 4.478 Meter aus dem Bohrprogramm 2020/21 berichtet, das nun abgeschlossen ist. Insgesamt hat Mawson seit dem Beginn der Bohrungen im September 2020 76 Bohrlöcher mit 19.422 Meter gebohrt. Elf Bohrungen mit 2.345 Meter wurden Ende 2020 gemeldet (Tabelle 1). Die Bohrungen mit 4 Bohrgeräten wurden im Februar und März 2021 fortgesetzt. Mit der Ende März einsetzenden Schneeschmelze wurden die Bohrungen des Winterprogramms nur knapp unter den geplanten 20.000 Metern abgeschlossen. Insgesamt 50 Bohrlöcher für 12.600 Meter aus fünf einzelnen Prospektionsgebieten müssen noch bis Juni 2021 gemeldet werden, wobei ein Ressourcen-Upgrade für Juli 2021 geplant ist. Konkret handelt es sich bei den hier veröffentlichten Bohrungen um Joki East (PAL0249-254) und The Hut (PAL0255-257, PAL0259-260, PAL0263, PAL0265 und PAL0269). Ein vollständiger Satz der gemeldeten Ergebnisse ist in Tabelle 2 dargestellt.

#### **Technischer und ökologischer Hintergrund**

Für das Bohrprogramm werden vier Diamantbohrgeräte von Kati Oy, Nivalan Timanttikairaus Oy und MK Core Drilling Oy eingesetzt, alle mit Wasserrückführung und Bohrkleinauffangsystemen. Der Kerndurchmesser ist NQ2 (50,7 mm). Die Kernaussbeute ist hervorragend und liegt im frischen Gestein durchschnittlich bei nahezu 100 %. Nach dem Fotografieren und Protokollieren in den Einrichtungen von Mawson in Rovaniemi werden die Kernintervalle von durchschnittlich 1 Meter für mineralisierte Proben und 2 Meter für unfruchtbare Proben in den Kerneinrichtungen des Geological Survey of Finland (GTK) in Rovaniemi, Finnland, halbiert. Der verbleibende halbe Kern wird für Verifizierungs- und Referenzzwecke aufbewahrt. Die Analyseproben werden mit einem kommerziellen Transport vom Standort zur CRS Minlab Oy Einrichtung in Kempele, Finnland, transportiert. Die Proben wurden mit der PAL1000-Methode aufbereitet und auf Gold analysiert. Dabei wird die Probe in Stahltöpfen mit abrasiven Medien in Gegenwart von Zyanid gemahlen und anschließend das Gold in Lösung mit einem Flammen-AAS-Gerät gemessen. Die Proben für die Multi-Element-Analyse (einschließlich Kobalt) werden im CRS Minlab zerkleinert, dann per Luftfracht zu den MSA-Labors in Vancouver (Kanada) transportiert und mit vier ICP-MS-Methoden mit Säureaufschluss analysiert. Das QA/QC-Programm von Mawson besteht aus dem systematischen Einsetzen von zertifizierten Standards mit bekanntem Goldgehalt, Doppelproben durch Vierteln des Kerns und Leerproben innerhalb des interpretierten mineralisierten Gesteins. Zusätzlich fügt CRS Leerproben und Standards in den analytischen Prozess ein.

Die Spotpreise für Gold und Kobalt wurden zur Berechnung der AuEq-Werte wie folgt verwendet:

- Durchschnittlicher Goldpreis \$1.599 pro Unze
- Durchschnittlicher Kobaltpreis \$19,93 pro Pfund
- Daraus ergibt sich die Goldäquivalentformel von  $AuEq \text{ g/t} = Au \text{ g/t} + (Co \text{ ppm}/1.170)$ .

Das Wirtsgestein der Gold- und Kobaltmineralisierung besteht aus Sulfiden (Pyrrhotit >> Pyrit) mit Biotit-Muskovit-Chlorit-Schiefer und Mg-Fe-Amphibol-Biotit-Chlorit-Gestein. Gang- und Bruchfüllungsminerale umfassen Pyrrhotit, Magnetit und Magnetit-Pyrrhotit (+/- Quarz, Turmalin). Retrogrades Chlorit nach Biotit, Generationen von sekundärem Muskovit ("Serizit") und adergesteuerter Chlorit +/- Turmalin und Magnetit sind ebenfalls vorhanden. Eine vorläufige Hand-RFA-Analyse bestätigt das Vorhandensein von vergesellschaftetem Scheelit und Molybdänit, wobei ersterer unter UV-Licht als winzige Äderchen und Einsprenglinge sichtbar ist. Die mit dem Gold assoziierten Silikatmineral-Alterationsassemblagen sind eindeutig postmetamorph, reduziert und wurden höchstwahrscheinlich durch hydrothermale Flüssigkeiten aus nahe gelegenen granitoiden Intrusionen angetrieben. Chlorit und feiner Muskovit werden als die Silikatminerale mit Gold bei niedrigster Temperatur angesehen, die strukturell in scheinbar räumlicher Verbindung mit Quarz- und/oder K-Feldspat-Adern stehen. Alterierte Gesteine, die das mineralisierte Paket einschließen, enthalten lokal reichlich Talk und Turmalin.

Alle Karten wurden im einheitlichen Koordinatensystem KKJ3/Finnland (EPSG:2393) erstellt.

Die Tabellen 1-2 enthalten Kragen- und Analysedaten. Unter der Annahme einer vorherrschenden schichtgebundenen Kontrolle wird die wahre Mächtigkeit des mineralisierten Abschnitts mit etwa 90 % der beprobten Mächtigkeit interpretiert. Tabelle 3 enthält detaillierte Einzeluntersuchungen aller Abschnitte, die in dieser Pressemitteilung gemeldet werden. Die Abschnitte werden mit einem unteren Cut-Off von 0,3 g/t AuEq über einen unteren Schnitt von 2 Metern gemeldet, außer wenn angegeben, dass kein unterer Cut-Off angewandt wurde. Es wurde kein oberer Cutoff-Wert angewandt; bei höhergradigen Abschnitten wurde ein unterer Cutoff-Wert von 1,1 g/t AuEq über 2 Meter verwendet.

Die qualifizierte Person für die finnischen Projekte von Mawson, Dr. Nick Cook, Chefgeologe von Mawson und Fellow des Australasian Institute of Mining Metallurgy, hat den Inhalt dieser Pressemitteilung geprüft und bestätigt.

**Technischer Bericht gemäß NI 43-101:** Am [14. September 2020](#) wurde eine aktualisierte Ressourcenschätzung von Rodney Webster von AMC aus Melbourne (Australien) und Dr. Kurt Simon Forrester von Arn Perspective aus Surrey (England) durchgeführt. Sowohl Herr Webster als auch Dr. Forrester sind unabhängige "qualifizierte Personen" gemäß der Definition von NI 43-101. Der technische Bericht gemäß NI 43-101 trägt den Titel "Rajapalot Property Mineral Resource Estimate NI 43-101 Technical Report" und datiert vom 14. September 2020 (der "aktualisierte technische Bericht"). Der aktualisierte technische Bericht kann auf der Website des Unternehmens unter [www.mawsongold.com](http://www.mawsongold.com) oder unter dem Profil des Unternehmens auf SEDAR unter [www.sedar.com](http://www.sedar.com) eingesehen werden. Den Lesern wird empfohlen, den gesamten aktualisierten technischen Bericht zu lesen.

### **Qualifizierte Person**

Dr. Nick Cook (FAusIMM), Chefgeologe des Unternehmens, ist eine qualifizierte Person gemäß National Instrument 43-101 - Standards of Disclosure of Mineral Projects und hat die wissenschaftlichen und technischen Informationen in dieser Pressemitteilung erstellt oder überprüft.

### **Über Mawson Gold Limited (TSX:MAW, FRANKFURT:MXR, OTC/PINK:MWSNF)**

[MawsonGoldLimited](#) ist ein Explorations- und Entwicklungsunternehmen. Mawson hat sich als führendes Explorationsunternehmen in der nordischen Arktis profiliert, wobei der Schwerpunkt auf dem Vorzeige-Gold-Kobalt-Projekt Rajapalot in Finnland liegt. Mawson besitzt auch drei hochgradige, historische, epizonale Goldfelder mit einer Fläche von 470 Quadratkilometern in Victoria, Australien, oder ist an Joint Ventures beteiligt und ist gut aufgestellt, um seine bereits bedeutenden Gold-Kobalt-Ressourcen in Finnland zu erweitern.

#### **Weitere Informationen**

[www.mawsongold.com](http://www.mawsongold.com)

1305 - 1090 West Georgia St., Vancouver, BC, V6E 3V7

Mariana Bermudez (Kanada), Corporate Secretary, +1 (604) 685 9316,

[info@mawsongold.com](mailto:info@mawsongold.com)

Im Namen des Vorstandes,

**"Michael Hudson"**

Michael Hudson, Vorsitzender & CEO

In Europa:

Swiss Resource Capital AG

Jochen Staiger

[info@resource-capital.ch](mailto:info@resource-capital.ch)

[www.resource-capital.ch](http://www.resource-capital.ch)

### **Zukunftsgerichtete Aussage**

Diese Pressemitteilung enthält zukunftsgerichtete Aussagen oder zukunftsgerichtete Informationen im Sinne der geltenden Wertpapiergesetze (zusammenfassend "zukunftsgerichtete Aussagen"). Alle hierin enthaltenen Aussagen, mit Ausnahme von Aussagen über historische Fakten, sind zukunftsgerichtete Aussagen. Obwohl Mawson der Ansicht ist, dass solche Aussagen vernünftig sind, kann Mawson keine Garantie dafür geben, dass sich diese Erwartungen als richtig erweisen. Zukunftsgerichtete Aussagen sind typischerweise durch Wörter wie: glauben, erwarten, antizipieren, beabsichtigen, schätzen, postulieren und ähnliche Ausdrücke gekennzeichnet, oder sind solche, die sich ihrer Natur nach auf zukünftige Ereignisse beziehen. Mawson weist Investoren darauf hin, dass zukunftsgerichtete Aussagen keine Garantie für zukünftige Ergebnisse oder Leistungen sind und dass die tatsächlichen Ergebnisse wesentlich von jenen in zukunftsgerichteten Aussagen abweichen können, was auf verschiedene Faktoren zurückzuführen ist, einschließlich, aber nicht beschränkt auf, Kapital- und andere Kosten, die erheblich von den Schätzungen abweichen, Veränderungen auf den Weltmetallmärkten, Veränderungen auf den Aktienmärkten, die potenziellen Auswirkungen von Epidemien, Pandemien oder anderen Krisen im Bereich der öffentlichen Gesundheit, einschließlich der aktuellen Pandemie, die als COVID-19 bekannt ist, auf das Geschäft des Unternehmens, Zeitplan und erfolgreicher Abschluss geplanter Bohrprogramme und von den Erwartungen abweichende Ergebnisse, Verzögerungen bei der Erzielung von Ergebnissen, Ausrüstungsausfälle, unerwartete geologische Bedingungen, Beziehungen zu den örtlichen Gemeinden, Umgang mit Nichtregierungsorganisationen, Verzögerungen beim Betrieb aufgrund von Genehmigungen, Umwelt- und Sicherheitsrisiken sowie andere Risiken und Ungewissheiten, die unter der Überschrift "Risikofaktoren" in Mawsons jüngstem Jahresinformationsblatt, das auf [www.sedar.com](http://www.sedar.com). Jede zukunftsgerichtete Aussage bezieht sich nur auf das Datum, an dem sie gemacht wird, und mit Ausnahme der in den geltenden Wertpapiergesetzen vorgeschriebenen Fälle lehnt Mawson jegliche Absicht oder Verpflichtung ab, zukunftsgerichtete Aussagen zu aktualisieren, sei es aufgrund neuer Informationen, zukünftiger Ereignisse oder Ergebnisse oder aus anderen Gründen.

Abbildung 1: Plan von Rajapalot, der die hier berichteten Ergebnisse für Joki East und The Hut (gestrichelte rote Rechtecke) mit historischen Bohrungen, Ressourcengebieten und EM-geophysikalischen Platten zeigt.

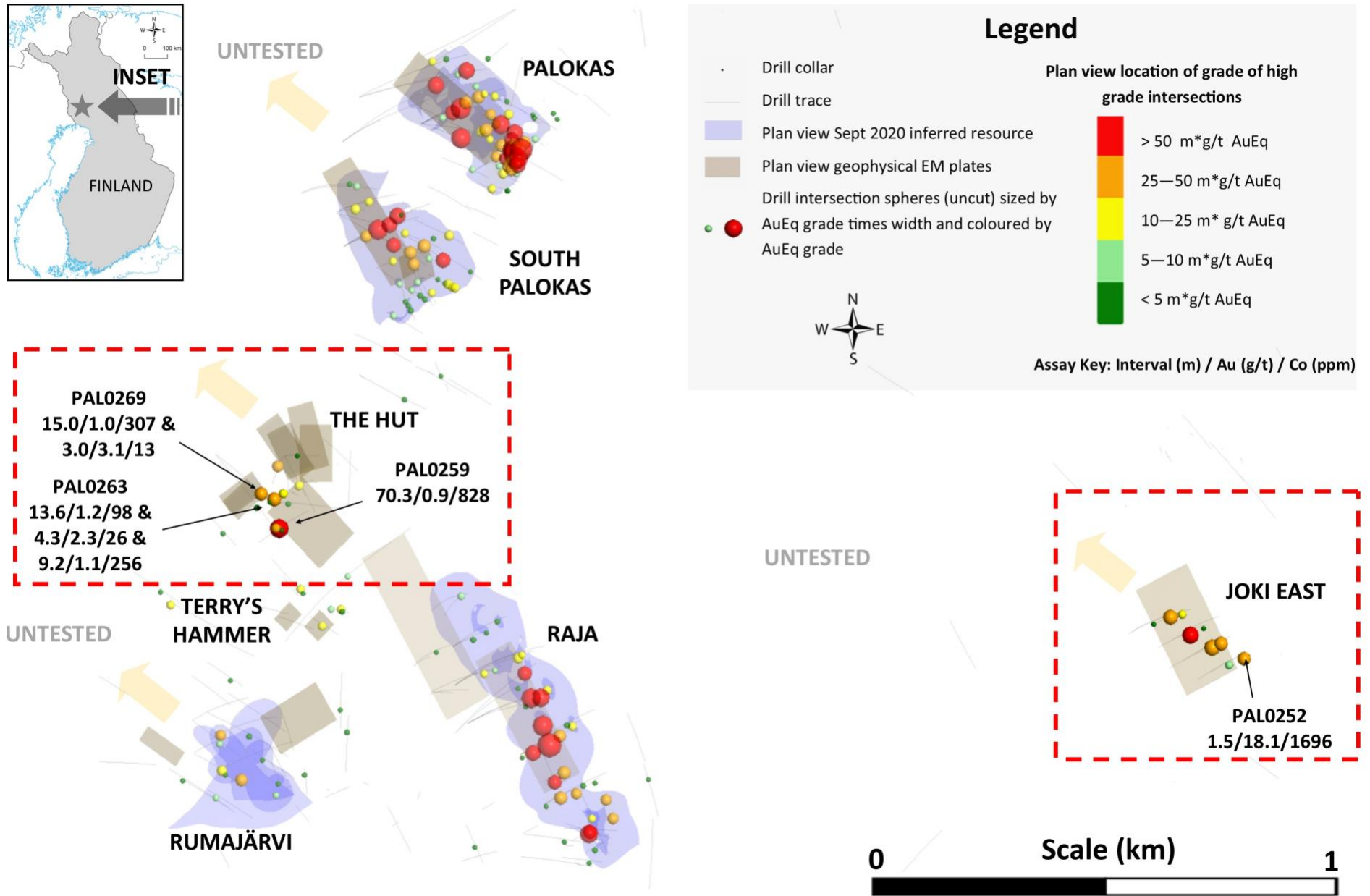


Tabelle 1: Halsbandinformationen aus dem Bohrprogramm 2020-21 auf dem Projekt Rajapalot (Finnisches Raster, Projektion KKJ3)

Bohrung ID	Osten	Norden	Azimut	Dip	RL	Tiefe (m)	Ausblick	Kommentar
PAL0235	3408208.1	7373667.8	047	-81.0	172.7	176,9 bis 522,0	Süd-Palokas	Ergebnisse werden erwartet
PAL0237	3409690	7374570	220	-61	180.4	68.5	Hirvimaa	<a href="#">gemeldet 25 Nov 2020</a>
PAL0238	3409662	7374613	220	-77	180.9	149.7	Hirvimaa	<a href="#">gemeldet 25 Nov 2020</a>
PAL0239	3410303.4	7372642.9	060	-66.0	151.0	41.7	Joki Ost	Abgebrochen, <a href="#">gemeldet 25 Nov 2020</a>
PAL0240	3410305.1	7372643.6	060	-66.0	151.2	281.7	Joki Ost	<a href="#">gemeldet 25 Nov 2020</a>
PAL0241	3410337.8	7372661.1	060	-66.0	151.3	236.4	Joki Ost	<a href="#">gemeldet 25 Nov 2020</a>
PAL0242	3410364.0	7372674.9	060	-66.0	150.6	236.8	Joki Ost	<a href="#">gemeldet 25 Nov 2020</a>
PAL0243	3410309.3	7372708.5	060	-67.5	151.4	239.7	Joki Ost	<a href="#">gemeldet 21 Dez 2020</a>
PAL0244	3410337.3	7372726.2	062	-68.0	151.4	251.7	Joki Ost	<a href="#">gemeldet 21 Dez 2020</a>
PAL0245	3410275.0	7372690.0	060	-66.0	151.4	257.5	Joki Ost	<a href="#">gemeldet 21 Dez 2020</a>
PAL0246	3410266.1	7372744.7	060	-71.0	152.3	287.6	Joki Ost	<a href="#">gemeldet 21 Dez 2020</a>
PAL0247	3410211.8	7372728.5	061	-64.0	151.5	293.4	Joki Ost	<a href="#">gemeldet 21 Dez 2020</a>
PAL0248	3411714.7	7371404.9	065	-60.0	124.9	323.6	Regional	Hier berichtet
PAL0249	3410204.0	7372724.3	064	-72.0	151.6	269.6	Joki Ost	Hier berichtet
PAL0250	3410404.0	7372632.2	060	-66.0	151.2	195.3	Joki Ost	Hier berichtet
PAL0251	3410374.9	7372616.9	060	-66.0	151.0	179.9	Joki Ost	Hier berichtet
PAL0252	3410435.4	7372651.2	060	-66.0	149.5	155.9	Joki Ost	Hier berichtet
PAL0253	3410154.1	7372819.7	061	-78.5	153.8	359.7	Joki Ost	Hier berichtet
PAL0254	3410153.2	7372821.5	061	-70.5	155.0	320.9	Joki Ost	Hier berichtet
PAL0255	3408125.6	7373140.2	090	-85.0	172.5	347.9	Hütte	Hier berichtet
PAL0256	3408125.6	7373140.2	088	-72.0	172.5	272.6	Hütte	Hier berichtet
PAL0257	3408126.6	7373140.2	087	-58.0	172.5	230.4	Hütte	Hier berichtet
PAL0258	3407835.1	7372449.6	039	-85.0	172.3	389.8	Rumajärvi	Ergebnisse werden erwartet
PAL0259	3408064.0	7372937.0	057	-61.5	173.4	299.9	Hütte	Hier berichtet
PAL0260	3408089.4	7373033.5	059	-70.0	173.1	320.6	Hütte	Hier berichtet
PAL0261	3408064.0	7372937.0	057	-74.0	173.4	311.7	Hütte	Ergebnisse werden erwartet
PAL0262	3408463.9	7373910.4	139	-73.0	173.6	358.9	Palokas	Ergebnisse werden erwartet
PAL0263	3408089.4	7373033.5	059	-84.0	173.1	329.8	Hütte	Hier berichtet
PAL0264	3407834.0	7372449.7	039	-68.0	172.8	125.5	Rumajärvi	Ergebnisse werden erwartet
PAL0265	3407956.6	7373143.7	143	-49.0	172.1	301.8	Hütte	Hier berichtet
PAL0266	3407835.1	7372448.6	210	-78.0	172.3	149.7	Rumajärvi	Ergebnisse werden erwartet
PAL0267	3407840.8	7372408.1	065	-48.2	172.7	268.9	Rumajärvi	Ergebnisse werden erwartet
PAL0268	3408186.3	7372767.6	060	-80.0	178.7	131.5	Terrys Hammer	Ergebnisse werden erwartet
PAL0269	3407956.6	7373143.7	126	-46.0	172.1	268.5	Hütte	Hier berichtet
PAL0270	3408463.9	7373910.4	124	-59.0	173.6	289.8	Palokas	Ergebnisse werden erwartet
PAL0271	3408186.3	7372767.6	210	-85.0	178.7	120.0	Terrys Hammer	Ergebnisse werden erwartet
PAL0272	3407840.8	7372408.1	065	-73.0	172.7	302.6	Rumajärvi	Ergebnisse werden erwartet
PAL0273	3408215.8	7372746.9	119	-54.0	177.3	82.1	Terrys Hammer	Ergebnisse werden erwartet
PAL0274	3407956.6	7373143.7	114	-45.0	172.1	280.2	Hütte	Ergebnisse werden erwartet
PAL0275	3408089.4	7373033.5	240	-81.0	173.1	161.8	Hütte	Ergebnisse werden erwartet
PAL0276	3408467.8	7373868.1	128	-50.0	172.0	23.9	Palokas	Ergebnisse werden erwartet
PAL0277	3408090.7	7373033.0	056	-81.5	173.6	257.3	Hütte	Ergebnisse werden erwartet
PAL0278	3407956.6	7373143.0	150	-50.0	172.1	280.0	Hütte	Ergebnisse werden erwartet
PAL0279	3408467.8	7373868.1	128	-50.0	172.0	287.9	Palokas	Ergebnisse werden erwartet
PAL0280	3407641.8	7372426.8	061	-38.0	173.0	342.9	Rumajärvi	Ergebnisse werden erwartet
PAL0281	3408544.8	7373674.7	116	-60.0	173.5	146.3	Süd-Palokas	Ergebnisse werden erwartet
PAL0282	3407941.4	7373070.5	061	-67.0	172.7	341.9	Hütte	Ergebnisse werden erwartet
PAL0283	3408467.8	7373868.1	141	-52.1	173.5	277.9	Palokas	Ergebnisse werden erwartet
PAL0284	3408521.2	7373606.0	062	-79.0	173.6	146.6	Süd-Palokas	Ergebnisse werden erwartet
PAL0285	3407641.8	7372426.9	061	-47.0	173.0	314.2	Rumajärvi	Ergebnisse werden erwartet
PAL0286	3408521.2	7373606.0	240	-69.0	173.6	149.4	Süd-Palokas	Ergebnisse werden erwartet
PAL0287	3407941.4	7373070.5	061	-76.0	172.7	346.7	Hütte	Ergebnisse werden erwartet
PAL0288	3408521.2	7373606.0	240	-57.0	173.6	172.8	Süd-Palokas	Ergebnisse werden erwartet
PAL0289	3408467.8	7373868.1	155	-52.0	172.0	305.2	Palokas	Ergebnisse werden erwartet
PAL0290	3408410.5	7373660.5	235	-78.0	174.0	335.6	Süd-Palokas	Ergebnisse werden erwartet
PAL0291	3407941.4	7373070.5	061	-85.0	172.7	329.3	Hütte	Ergebnisse werden erwartet
PAL0292	3408112.4	7372770.1	060	-61.0	172.4	149.1	Terrys Hammer	Ergebnisse werden erwartet
PAL0293	3408467.8	7373868.1	061	-68.0	172.0	344.3	Palokas	Ergebnisse werden erwartet
PAL0294	3407941.4	7373070.5	220	-87.0	172.7	353.7	Hütte	Ergebnisse werden erwartet
PAL0295	3408821.1	7372287.6	058	-80.0	172.7	140.2	Raja	Ergebnisse werden erwartet
PAL0296	3408410.5	7373660.5	241	-71.5	174.0	368.7	Süd-Palokas	Ergebnisse werden erwartet
PAL0297	3408821.1	7372287.6	058	-66.0	172.7	169.4	Raja	Ergebnisse werden erwartet
PAL0298	3408466.5	7373867.0	128	-65.0	173.9	305.1	Palokas	Ergebnisse werden erwartet
PAL0299	3408410.5	7373660.5	241	-64.5	174.0	394.7	Süd-Palokas	Ergebnisse werden erwartet
PAL0300	3408821.1	7372287.6	245	-80.0	172.7	142.5	Raja	Ergebnisse werden erwartet
PAL0301	3407999.2	7373194.3	115	-57.0	172.1	335.0	Hütte	Ergebnisse werden erwartet
PAL0302	3408912.5	7372341.5	238	-73.0	172.3	163.8	Raja	Ergebnisse werden erwartet

<b>PAL0303</b>	3407712.4	7373644.2	044	-75.5	172.7	629.2	Süd-Palokas	Ergebnisse werden erwartet
<b>PAL0304</b>	3407681.1	7373602.7	160	-58.0	173.6	125.2	Süd-Palokas	Ergebnisse werden erwartet
<b>PAL0305</b>	3407649.8	7373660.5	050	-82.0	174.0	281.5	Süd-Palokas	Ergebnisse werden erwartet
<b>PAL0306</b>	3407843	7372798	60	-45	172.4	280.6	Rumajärvi	Ergebnisse werden erwartet
<b>PAL0307</b>	3408273	7373630	66	-85	174.66	352.9	Süd-Palokas	Ergebnisse werden erwartet
<b>PAL0308</b>	3408134	7373634	50	-77	173	515.6	Süd-Palokas	Ergebnisse werden erwartet
<b>PAL0309</b>	3407850	7372499	81	-74	172.5	202.5	Rumajärvi	Ergebnisse werden erwartet
<b>PAL0310</b>	3408610	7373895	167	-76	174.86	209.5	Palokas	Ergebnisse werden erwartet
<b>PAL0311</b>	3408610	7373895	96	-55	174.86	78.9	Palokas	Verlassen durch Schneeschmelze

Tabelle 2: Durchschneidungen aus dem Winterbohrprogramm 2020-21. Die Abschnitte werden mit einem unteren Cutoff von 0,3 g/t AuEq (unter Verwendung von langfristig prognostizierten Gold- und Kobaltpreisen von 1.599 \$ pro Unze bzw. 19,93 \$ pro Pfund) über einen unteren Cutoff von 2 Metern gemeldet. Es wurde kein oberer Cutoff-Wert angewandt. "<" steht für unter der Nachweisgrenze von 0,05 g/t Au.

Ausblick	Bohrung ID	Von (m)	Nach (m)	Breite (m)	Au g/t	Co ppm	AuEq g/t
Joki Ost	PAL0240	148.8	149.8	1.0	0.9	5	0.9
Joki Ost	PAL0240	165.1	167.5	2.4	0.1	1187	1.1
Joki Ost	PAL0241	168.6	170.2	1.6	28.3	1190	29.3
Joki Ost	PAL0242	154.0	158.5	4.4	7.3	735	7.9
Joki Ost	PAL0243	193.0	195.9	2.9	0.6	574	1.1
Joki Ost	PAL0245	177.1	178.4	1.3	25.3	2327	27.3
Joki Ost	PAL0245	191.0	191.5	0.5	23.0	3974	26.4
Joki Ost	PAL0245	194.8	196.9	2.1	2.8	806	3.5
Joki Ost	PAL0246	188.6	189.2	0.6	10.3	725	10.9
Joki Ost	PAL0246	204.4	212.4	7.9	0.7	323	1.0
Joki Ost	PAL0247	216.6	218.5	1.9	0.7	103	0.7
Joki Ost	PAL0247	220.9	230.0	9.1	4.3	457	4.7
Joki Ost	PAL0249	177.3	178.3	1.0	2.5	344	2.8
Joki Ost	PAL0250	87.5	89.2	1.7	2.0	159	2.1
Joki Ost	PAL0250	120.5	121.5	1.0	0.8	130	0.9
Joki Ost	PAL0250	125.2	128.1	2.9	1.5	782	2.2
Joki Ost	PAL0250	136.6	137.6	1.0	1.8	33	1.8
Joki Ost	PAL0251	146.5	146.9	0.5	0.4	15	0.4
Joki Ost	PAL0251	152.8	153.9	1.2	0.4	29	0.4
Joki Ost	PAL0252	117.0	118.5	1.5	18.1	1696	19.6
Joki Ost	PAL0254	215.0	218.1	3.1	0.4	107	0.5
Joki Ost	PAL0254	288.5	290.0	1.5	1.3	167	1.4
Hütte	PAL0255	78.8	90.1	11.4	0.4	123	0.5
Hütte	PAL0255	102.5	103.5	1.1	0.1	314	0.3
Hütte	PAL0255	106.6	110.5	4.0	0.1	222	0.3
Hütte	PAL0255	212.7	213.8	1.1	0.1	609	0.6
Hütte	PAL0255	236.6	237.7	1.1	0.2	268	0.4
Hütte	PAL0255	312.1	313.1	1.0	1.0	44	1.1
Hütte	PAL0256	79.4	83.0	3.7	0.2	67	0.3
Hütte	PAL0256	95.9	96.9	1.0	0.2	382	0.5
Hütte	PAL0256	100.2	101.2	1.0	0.3	127	0.4
Hütte	PAL0256	110.0	113.0	3.0	0.9	549	1.3
Hütte	PAL0256	115.1	119.0	3.9	0.3	223	0.5
Hütte	PAL0256	121.4	125.0	3.7	0.1	234	0.3
Hütte	PAL0256	140.0	142.0	2.0	0.0	385	0.4
Hütte	PAL0257	47.0	48.0	1.0	0.1	219	0.3
Hütte	PAL0257	174.5	175.5	1.0	0.1	429	0.4
Hütte	PAL0259	95.8	124.0	28.3	1.0	1090	2.0
Hütte	PAL0259	126.3	150.3	24.0	1.0	1104	2.0
Hütte	PAL0259	153.3	154.3	1.0	1.7	10	1.7
Hütte	PAL0259	159.0	166.0	7.0	1.1	31	1.2
Hütte	PAL0260	89.8	97.8	8.0	0.4	83	0.5
Hütte	PAL0260	109.0	114.4	5.4	3.0	262	3.2
Hütte	PAL0260	290.5	291.5	1.0	0.1	1357	1.2
Hütte	PAL0263	98.7	99.9	1.1	2.2	473	2.6
Hütte	PAL0263	103.0	116.6	13.6	1.2	98	1.3

<b>Hütte</b>	PAL0263	121.5	125.8	4.3	2.3	26	2.3
<b>Hütte</b>	PAL0263	222.3	231.5	9.2	1.1	256	1.3
<b>Hütte</b>	PAL0265	203.2	204.2	1.0	1.0	11	1.0
<b>Hütte</b>	PAL0265	231.6	241.6	10.0	0.8	406	1.1
<b>Hütte</b>	PAL0269	185.7	186.7	1.0	0.1	461	0.5
<b>Hütte</b>	PAL0269	191.7	193.8	2.1	5.2	275	5.5
<b>Hütte</b>	PAL0269	195.9	210.9	15.0	1.0	307	1.3
<b>Hütte</b>	PAL0269	214.9	215.9	1.0	0.6	14	0.6
<b>Hütte</b>	PAL0269	219.4	222.4	3.0	3.1	13	3.1
<b>Hütte</b>	PAL0269	250.0	250.9	0.8	1.8	66	1.9



Tabelle 3: Einzelne Untersuchungsdaten der Bohrlöcher, über die in dieser Pressemitteilung berichtet wird.

<b>Bohrung ID</b>	<b>Von (m)</b>	<b>Nach (m)</b>	<b>Breite (m)</b>	<b>Au g/t</b>	<b>Co ppm</b>	<b>AuEq g/t</b>
<b>PAL0249</b>	177.3	178.3	1.0	2.5	344	2.9
<b>PAL0250</b>	125.2	126.2	1.0	1.6	623	2.2
<b>PAL0250</b>	126.2	127.1	1.0	2.6	1730	4.3
<b>PAL0250</b>	127.1	128.1	1.0	0.3	41	0.3
<b>PAL0252</b>	117.0	118.0	1.0	25.5	2197	27.6
<b>PAL0252</b>	118.0	118.5	0.5	3.4	695	4.1
<b>PAL0255</b>	78.8	79.8	1.0	0.3	58	0.3
<b>PAL0255</b>	79.8	81.0	1.3	0.1	52	0.2
<b>PAL0255</b>	81.0	82.0	1.0	0.3	398	0.7
<b>PAL0255</b>	82.0	82.8	0.8	0.4	55	0.5
<b>PAL0255</b>	82.8	83.5	0.7	0.9	289	1.2
<b>PAL0255</b>	83.5	84.6	1.1	1.0	66	1.1
<b>PAL0255</b>	84.6	85.8	1.2	0.4	80	0.5
<b>PAL0255</b>	85.8	87.0	1.3	0.7	83	0.8
<b>PAL0255</b>	87.0	88.0	1.0	0.2	44	0.2
<b>PAL0255</b>	88.0	89.0	1.0	0.1	114	0.2
<b>PAL0255</b>	89.0	90.1	1.1	0.4	193	0.6
<b>PAL0255</b>	102.5	103.5	1.1	0.1	314	0.3
<b>PAL0255</b>	312.1	313.1	1.0	1.0	44	1.1
<b>PAL0256</b>	79.4	80.4	1.1	0.3	117	0.4
<b>PAL0256</b>	80.4	82.0	1.6	0.1	45	0.2
<b>PAL0256</b>	82.0	83.0	1.0	0.3	48	0.3
<b>PAL0256</b>	110.0	111.0	1.0	0.5	144	0.6
<b>PAL0256</b>	111.0	112.0	1.0	0.5	395	0.8
<b>PAL0256</b>	112.0	113.0	1.0	1.6	1108	2.5
<b>PAL0256</b>	113.0	114.0	1.0	0.1	156	0.2
<b>PAL0256</b>	114.0	115.1	1.1	0.1	256	0.3
<b>PAL0256</b>	115.1	116.1	1.0	0.0	350	0.3
<b>PAL0256</b>	116.1	117.1	1.0	0.1	94	0.2
<b>PAL0256</b>	117.1	118.0	0.9	0.9	216	1.1
<b>PAL0256</b>	118.0	119.0	1.0	0.1	231	0.3
<b>PAL0256</b>	119.0	120.1	1.1	<	84	0.1
<b>PAL0256</b>	120.1	121.4	1.3	0.1	106	0.1
<b>PAL0256</b>	121.4	123.0	1.7	0.2	184	0.3
<b>PAL0256</b>	123.0	124.0	1.0	0.1	211	0.3
<b>PAL0256</b>	124.0	125.0	1.0	0.1	338	0.4
<b>PAL0259</b>	95.8	96.6	0.9	0.3	1764	1.8
<b>PAL0259</b>	96.6	97.6	1.0	0.5	2013	2.2
<b>PAL0259</b>	97.6	98.6	1.0	0.3	1726	1.8
<b>PAL0259</b>	98.6	99.6	1.0	0.2	1373	1.4
<b>PAL0259</b>	99.6	100.7	1.1	-0.1	70	0.1
<b>PAL0259</b>	100.7	101.7	1.0	0.8	3151	3.5
<b>PAL0259</b>	101.7	102.7	1.0	1.0	2891	3.5
<b>PAL0259</b>	102.7	103.7	1.0	0.5	2054	2.3
<b>PAL0259</b>	103.7	104.7	1.0	0.4	2704	2.7
<b>PAL0259</b>	104.7	105.7	1.0	0.8	3609	3.9

<b>PAL0259</b>	105.7	107.1	1.4	1.2	2626	3.4
<b>PAL0259</b>	107.1	108.1	1.0	7.6	995	8.5
<b>PAL0259</b>	108.1	109.1	1.0	2.0	198	2.2
<b>PAL0259</b>	109.1	110.3	1.2	1.1	1436	2.4
<b>PAL0259</b>	110.3	111.3	1.0	0.3	42	0.3
<b>PAL0259</b>	111.3	112.3	1.0	1.0	12	1.0
<b>PAL0259</b>	112.3	113.3	1.0	0.1	6	0.1
<b>PAL0259</b>	113.3	115.3	2.0	1.0	43	1.0
<b>PAL0259</b>	115.3	117.3	2.0	1.6	42	1.7
<b>PAL0259</b>	117.3	119.3	2.0	0.8	72	0.8
<b>PAL0259</b>	119.3	120.5	1.3	2.3	55	2.4
<b>PAL0259</b>	120.5	121.5	1.0	0.5	79	0.5
<b>PAL0259</b>	121.5	122.5	1.0	0.3	1130	1.2
<b>PAL0259</b>	122.5	123.5	1.0	0.2	1059	1.1
<b>PAL0259</b>	123.5	124.0	0.5	0.1	948	0.9
<b>PAL0259</b>	124.0	125.3	1.3	-0.1	126	0.1
<b>PAL0259</b>	125.3	126.3	1.0	-0.1	277	0.3
<b>PAL0259</b>	126.3	127.6	1.3	0.3	1425	1.5
<b>PAL0259</b>	127.6	128.6	1.0	0.2	1402	1.3
<b>PAL0259</b>	128.6	129.6	1.0	0.9	1671	2.3
<b>PAL0259</b>	129.6	130.6	1.0	0.3	1837	1.9
<b>PAL0259</b>	130.6	131.5	0.9	0.2	1828	1.8
<b>PAL0259</b>	131.5	132.5	1.0	0.8	1735	2.3
<b>PAL0259</b>	132.5	133.5	1.0	0.7	1589	2.0
<b>PAL0259</b>	133.5	134.7	1.2	0.2	879	0.9
<b>PAL0259</b>	134.7	135.7	1.0	0.9	1651	2.3
<b>PAL0259</b>	135.7	136.7	1.0	2.3	1946	4.0
<b>PAL0259</b>	136.7	137.7	1.0	0.6	2293	2.5
<b>PAL0259</b>	137.7	138.7	1.0	0.5	1347	1.6
<b>PAL0259</b>	138.7	139.7	1.0	0.4	1491	1.7
<b>PAL0259</b>	139.7	140.7	1.0	0.3	521	0.7
<b>PAL0259</b>	140.7	141.7	1.0	-0.1	15	0.0
<b>PAL0259</b>	141.7	142.7	1.0	0.2	17	0.2
<b>PAL0259</b>	142.7	143.3	0.6	0.7	40	0.7
<b>PAL0259</b>	143.3	144.0	0.8	5.7	146	5.9
<b>PAL0259</b>	144.0	144.7	0.7	3.2	89	3.3
<b>PAL0259</b>	144.7	145.7	1.0	3.1	1659	4.5
<b>PAL0259</b>	145.7	146.7	1.0	0.3	17	0.3
<b>PAL0259</b>	146.7	147.3	0.6	0.1	9	0.1
<b>PAL0259</b>	147.3	148.3	1.0	1.7	188	1.9
<b>PAL0259</b>	148.3	149.3	1.0	2.5	1685	3.9
<b>PAL0259</b>	149.3	150.3	1.0	1.3	750	1.9
<b>PAL0259</b>	150.3	151.3	1.0	0.2	17	0.2
<b>PAL0259</b>	151.3	152.3	1.0	0.1	18	0.1
<b>PAL0259</b>	152.3	153.3	1.0	-0.1	17	0.0
<b>PAL0259</b>	153.3	154.3	1.0	1.7	10	1.7
<b>PAL0259</b>	154.3	155.3	1.0	0.2	83	0.2
<b>PAL0259</b>	155.3	157.0	1.7	0.1	48	0.2
<b>PAL0259</b>	157.0	159.0	2.0	0.1	10	0.1

<b>PAL0259</b>	159.0	161.0	2.0	0.6	19	0.6
<b>PAL0259</b>	161.0	163.0	2.0	1.2	28	1.2
<b>PAL0259</b>	163.0	164.0	1.0	1.3	68	1.3
<b>PAL0259</b>	164.0	165.0	1.0	2.2	33	2.2
<b>PAL0259</b>	165.0	166.0	1.0	0.8	20	0.8
<b>PAL0260</b>	89.8	90.8	1.0	0.5	86	0.6
<b>PAL0260</b>	90.8	91.8	1.0	0.5	97	0.6
<b>PAL0260</b>	91.8	92.8	1.0	0.4	72	0.4
<b>PAL0260</b>	92.8	93.8	1.0	0.1	51	0.1
<b>PAL0260</b>	93.8	94.8	1.0	0.5	62	0.6
<b>PAL0260</b>	94.8	95.8	1.0	0.2	82	0.3
<b>PAL0260</b>	95.8	96.8	1.0	0.1	42	0.1
<b>PAL0260</b>	96.8	97.8	1.0	1.1	169	1.2
<b>PAL0260</b>	109.0	110.0	1.0	0.1	248	0.4
<b>PAL0260</b>	110.0	111.0	1.0	1.0	244	1.2
<b>PAL0260</b>	111.0	112.0	1.0	1.1	606	1.6
<b>PAL0260</b>	112.0	113.2	1.2	10.5	209	10.7
<b>PAL0260</b>	113.2	114.4	1.3	1.5	63	1.6
<b>PAL0260</b>	290.5	291.5	1.0	0.1	1357	1.2
<b>PAL0263</b>	98.7	99.9	1.2	2.2	473	2.6
<b>PAL0263</b>	99.9	100.9	1.0	0.2	34	0.2
<b>PAL0263</b>	100.9	102.0	1.2	0.1	16	0.1
<b>PAL0263</b>	102.0	103.0	1.0	-0.1	150	0.2
<b>PAL0263</b>	103.0	104.1	1.1	0.3	80	0.3
<b>PAL0263</b>	104.1	104.8	0.7	0.1	11	0.1
<b>PAL0263</b>	104.8	105.6	0.8	1.4	193	1.5
<b>PAL0263</b>	105.6	106.5	0.9	9.6	129	9.7
<b>PAL0263</b>	106.5	107.5	1.0	3.9	442	4.2
<b>PAL0263</b>	107.5	108.5	1.0	0.2	173	0.4
<b>PAL0263</b>	108.5	110.0	1.5	-0.1	18	0.0
<b>PAL0263</b>	110.0	111.0	1.0	0.3	30	0.3
<b>PAL0263</b>	111.0	112.0	1.0	0.2	12	0.2
<b>PAL0263</b>	112.0	113.0	1.0	0.1	11	0.1
<b>PAL0263</b>	113.0	114.0	1.0	0.5	9	0.5
<b>PAL0263</b>	114.0	115.0	1.0	0.4	105	0.4
<b>PAL0263</b>	115.0	116.0	1.0	0.5	85	0.6
<b>PAL0263</b>	116.0	116.6	0.6	0.4	111	0.5
<b>PAL0263</b>	121.5	122.5	1.0	1.5	14	1.5
<b>PAL0263</b>	122.5	123.6	1.1	3.2	33	3.2
<b>PAL0263</b>	123.6	124.7	1.1	3.6	28	3.7
<b>PAL0263</b>	124.7	125.8	1.1	0.7	29	0.7
<b>PAL0263</b>	222.3	223.3	1.0	0.1	690	0.7
<b>PAL0263</b>	223.3	224.3	1.0	0.1	455	0.5
<b>PAL0263</b>	224.3	225.3	1.0	0.2	266	0.4
<b>PAL0263</b>	225.3	226.3	1.0	-0.1	74	0.1
<b>PAL0263</b>	226.3	227.3	1.0	0.1	152	0.2
<b>PAL0263</b>	227.3	228.3	1.0	3.0	127	3.1
<b>PAL0263</b>	228.3	229.3	1.0	5.5	212	5.7
<b>PAL0263</b>	229.3	230.5	1.2	0.6	227	0.8

<b>PAL0263</b>	230.5	231.5	1.0	0.3	102	0.4
<b>PAL0265</b>	231.6	232.6	1.0	1.3	838	2.0
<b>PAL0265</b>	232.6	233.6	1.0	0.2	577	0.7
<b>PAL0265</b>	233.6	234.6	1.0	1.5	514	1.9
<b>PAL0265</b>	234.6	235.6	1.0	0.1	446	0.5
<b>PAL0265</b>	235.6	236.6	1.0	0.2	108	0.3
<b>PAL0265</b>	236.6	237.6	1.0	0.9	163	1.0
<b>PAL0265</b>	237.6	238.6	1.0	0.9	166	1.0
<b>PAL0265</b>	238.6	239.6	1.0	2.4	224	2.5
<b>PAL0265</b>	239.6	240.6	1.0	0.2	384	0.5
<b>PAL0265</b>	240.6	241.6	1.0	0.3	638	0.8
<b>PAL0269</b>	191.7	192.7	1.0	3.4	71	3.5
<b>PAL0269</b>	192.7	193.8	1.1	6.9	460	7.3
<b>PAL0269</b>	193.8	194.9	1.1	0.2	26	0.2
<b>PAL0269</b>	194.9	195.9	1.0	-0.1	12	0.0
<b>PAL0269</b>	195.9	196.9	1.0	1.0	54	1.1
<b>PAL0269</b>	196.9	197.9	1.0	0.5	277	0.7
<b>PAL0269</b>	197.9	198.9	1.0	0.3	314	0.5
<b>PAL0269</b>	198.9	199.9	1.0	1.4	174	1.5
<b>PAL0269</b>	199.9	200.9	1.0	0.4	360	0.7
<b>PAL0269</b>	200.9	201.9	1.0	1.4	471	1.8
<b>PAL0269</b>	201.9	202.9	1.0	1.3	505	1.7
<b>PAL0269</b>	202.9	203.9	1.0	5.3	832	6.0
<b>PAL0269</b>	203.9	204.9	1.0	2.6	665	3.1
<b>PAL0269</b>	204.9	205.9	1.0	0.1	524	0.6
<b>PAL0269</b>	205.9	206.9	1.0	0.2	388	0.5
<b>PAL0269</b>	206.9	207.9	1.0	0.1	12	0.1
<b>PAL0269</b>	207.9	208.9	1.0	-0.1	6	0.0
<b>PAL0269</b>	208.9	209.9	1.0	0.5	9	0.5
<b>PAL0269</b>	209.9	210.9	1.0	0.3	17	0.3
<b>PAL0269</b>	219.4	220.4	1.0	4.5	3	4.5
<b>PAL0269</b>	220.4	221.4	1.0	4.3	28	4.3
<b>PAL0269</b>	221.4	222.4	1.0	0.6	7	0.6
<b>PAL0269</b>	250.0	250.9	0.9	1.8	66	1.9